

運輸省港湾技術研究所 正会員 上田茂
同 正会員 白石悟

1. まえがき

浮遊構造物に作用する波強制力および造波抵抗力については、井島⁽¹⁾、木原等⁽²⁾が浅海波に対する厳密解をボテンシャル理論を用いて求め(おり)、線型拘束浮体の規則波応答計算を行っている。本報告では、後者の理論により求めた流体力を用いて、浮体の非線型拘束系にみるところの不規則波応答計算法と計算結果から得られた、非線型拘束浮体の不規則波応答特徴について報告する。

2. 浮体の運動方程式および解法

二次元浮体の運動方程式は、スウェイ、ヒート、ロールについて(2.1)式のようにかけられる。

$$\begin{aligned} (1+A_{11})M\ddot{x} + B_{11}M\dot{x} + IA_{10}\dot{\theta} + IB_{10}\dot{\theta} &= P_{Hs} + R_H \\ (1+A_{22})M\ddot{z} + B_{22}M\dot{z} &= P_{Ds} - P_{Us} \\ (1+A_{00})I\ddot{\theta} + B_{00}I\dot{\theta} + A_{01}M\ddot{x} + B_{01}M\dot{x} &= M_s + R_M - M_{Ds} \end{aligned} \quad \cdots \quad (2.1)$$

(2.1)式において、係数 A_{ij} 、 B_{ij} などは、 A_{ij} は造波抵抗力による付加質量係数または付加慣性モーメント係数、 B_{ij} は造波減衰係数で(2.2)式のようにかける。なお、本報告では浮体の運動に伴う粘性減衰については考慮していない。

$$\begin{aligned} A_{11} &= Re(P_{Hs})/\alpha^2 M, \quad A_{10} = Re(P_{Hs})/\alpha^2 I, \quad A_{22} = Re(P_{Ds})/\alpha^2 M \\ A_{01} &= Re(M_f)/\alpha^2 M, \quad A_{00} = Re(M_0)/\alpha^2 I, \\ B_{11} &= -Im(P_{Hs})/\alpha M, \quad B_{10} = -Im(P_{Hs})/\alpha I, \quad B_{22} = -Im(P_{Ds})/\alpha^2 M \\ B_{01} &= -Im(M_f)/\alpha M, \quad B_{00} = -Im(M_0)/\alpha I \end{aligned} \quad \cdots \quad (2.2)$$

ここで、 P_{Hs} 、 P_{Ds} 、 M_f 、 M_0 ：造波抵抗力および造波抵抗モーメント、 α ：波の角周波数、 M ：浮体の質量、 I ：浮体の重心回りの慣性モーメント、 $Re(\cdot)$ ：実数部、 $Im(\cdot)$ ：虚数部、 P_{Hs} 、 P_{Ds} 、 M_0 ：固定浮体に作用する波力および波カモーメント、 R_H 、 R_M ：拘束系による反力をおよび反力のモーメント、 P_{Us} 、 M_{Ds} ：静的復原力および復原カモーメントである。添字Hは水平成分、Dは鉛直成分、sは水平方向変位、zは船直方向変位、θは回転変位を示す。(2.1)の右辺は外力項で二つを時系列で与え、時刻歴応答解を求める。

3. 拘束浮体の諸元

計算の対象とした拘束浮体の諸元は、表-1に示すとおりである。図-1は浮体の拘束状態を示す。

表-1 拘束浮体の諸元

水深	h	30m
浮体半幅	l	40m
吃水	d	25m
浮体重心	z	-12.5m
慣性モーメント	I	$1.231 \times 10^8 \text{ kgf.m.s}^2$
バネ定数	k	50, 200, 20 t/m/m
バネ高さ	s	2m

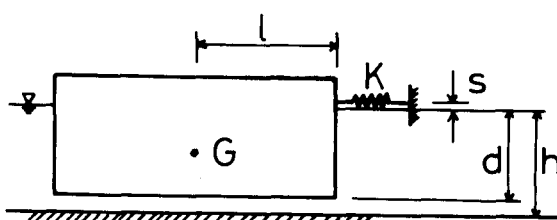


図-1 拘束浮体の諸元

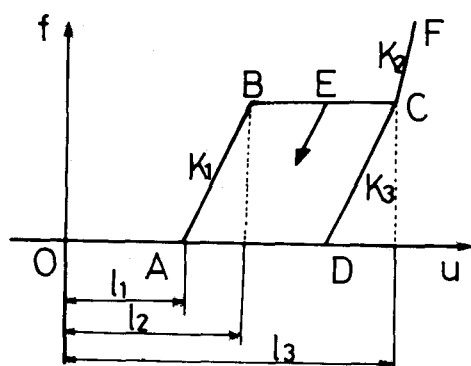


図-2 拘束系のバネ特性

に係る系のバネ特性を示した。

2. 付加質量係数、付加慣性モーメント係数および透波減衰係数

(2-2)式の A_{ij} , B_{ij} および α_{ij} の係数を計算すると、例えばスウェイおよびロールについて図-3のようすの結果を得る。流体力係数は周波数の関数であるから、非線型系で応答計算をする場合に計算数と RT とを考慮しなければならないが、ここでは、波浪スペクトルによる重みつき平均値を用いた。

3. 規則波および不規則波応答計算

図-1 に示した場合に対し、規則波・線型、不規則波・線型、規則波・非線型、不規則波・非線型のアスレット (若干計算を行なう。図-4 はスウェイ、図-5 はロールについての計算結果を示す。図中、実線がすばやく

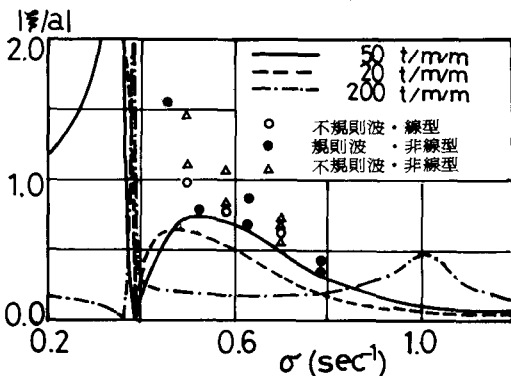


図-4 規則波および不規則波応答 (スウェイ)

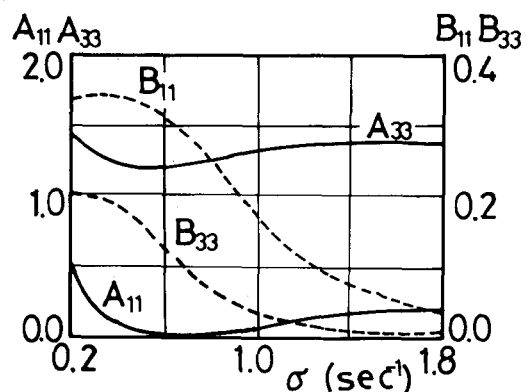


図-3 流体力係数

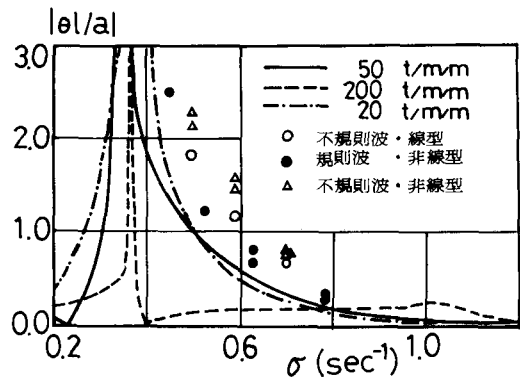


図-5 規則波および不規則波応答 (ロール)

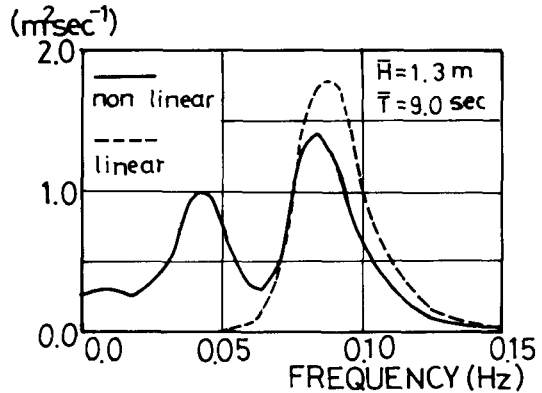


図-6 不規則波応答スペクトル (スウェイ)

線型といふ規則波・線型の応答計算値である。不規則波・非線型に対する計算結果はおもと以下の不規則波の中心周波数に対しての応答値のバクツキは入射波高に起因するものである。二八の図で線型と非線型、または不規則波に対する応答値が一致しないのは、非線型では不規則波に対する応答が長周期成分を有しているためで、それらの応答値を長周期側にずらして規則波・線型の応答値と対比せば比較的良い一致を示す。この応答特徴は図-6 のスペクトルによつて一看よく説明できる。すなわち、非線型系の不規則波応答値では、中心周波数の近くに長周期成分にもエネルギーが集中していふことがわかる。

- 1) 木島成士、田淵輪修、湯村やす：“有限水深の波による船形断面浮体の運動と波の変形”，土木学会論文報告集、第202号、1972。
- 2) 木原力、鶴 真彦：“船形断面浮体の波運動並に對する研究”，港湾技術研究所報告、Vol. 12, No. 2, 1975, pp. 27~77